

# تهیه نانو پودر کامپوزیتی $\text{Co}_3\text{W}/\text{Cu}$ به روش مکانیکی - شیمیایی

بهزاد کوزه‌گر کالجی<sup>i</sup>; رسول صراف ماموری<sup>ii</sup>

چکیده

در این تحقیق سنتز نانو پودر کامپوزیتی  $\text{Co}_3\text{W}/\text{Cu}$  با نسبتنهایی  $\text{Co}_{50}\text{W}_{40}\text{Cu}_{10}$  بر اساس ترکیب بین فلزی  $\text{Co}_3\text{W}$  به روش مکانیکی - شیمیایی مورد بررسی گرفته است. این پودر با استفاده از آسیایی پر انرژی ماهواره‌ای از مخلوط پودرهای  $\text{Co}_3\text{O}_4$ , WC و  $\text{CuO}$  با خلوص ۹۹/۹ درصد و احیای مخلوط پودرها در محیط هیدروژن ساخته شد. پودرها طی فرایند آسیا، در سرعت چرخشی ۲۰۰ دور بر دقیقه، نسبت وزنی گلوله به پودر ۱۵ و در مدت زمان‌های ۱ تا ۴ ساعت شدند. در ادامه، عملیات احیای مخلوط پودرها در دماهای ۸۵۰-۱۱۰۰ °C به مدت ۱ ساعت در کوره تیوبی، منجر به تولید نانوپودرهای کامپوزیتی  $\text{Co}_3\text{W}/\text{Cu}$  بر اساس ترکیب بین فلزی  $\text{Co}_3\text{W}$  با میانگین اندازه ذرات ۳۰ نانومتر شد.

## کلمات کلیدی

نانو پودر کامپوزیتی، ترکیب بین فلزی  $\text{Co}_3\text{W}$ , فرایند مکانیکی - شیمیایی، آسیای ماهواره‌ای، احیای هیدروژنی

## Mechano-Chemical Synthesis of $\text{Co}_3\text{W}/\text{Cu}$ Composite Nanopowders

B. Koozegar-Kaleji; R. Sarraf- Mamoory

### ABSTRACT

In this research, mechano-chemical synthesis of  $\text{Co}_3\text{W}/\text{Cu}$  composite nanoparticles on  $\text{Co}_3\text{W}$  based intermetallic compound was investigated. Powder mixture of  $\text{Co}_3\text{O}_4$ , WC and  $\text{CuO}$  (99/9 % purity) were first milled by high energy planetary ball mill and decline in hydrogen reduction system.

During ball mill, powder mixtures at 200rpm, ball to powder ratio (BPR) 15 and time 1 to 4 hours. Synthesis of composite nanopowders on  $\text{Co}_3\text{W}$  based intermetallic compound with mean particle size of 30 nm occurred during reduction process at 850-1100 °C in tube furnace for 1 hour.

### KEYWORDS

Composite Nanopowder,  $\text{Co}_3\text{W}$  Intermetallic Compound, Mechano-Chemical Process (MCP), Planetary Mill and Hydrogen Reduction.

### ۱- مقدمه

روش‌های متداول سنتز نانوپودرهای کامپوزیتی و آلیاژی شامل یک آسیایی پر انرژی، به دلیل سادگی فرایند، همواره مورد توجه چگالش در حضور گاز خنثی، انجامداد سریع، فرایند پاشش، محققان بوده است. فرایندهایی از قبیل آلیاژسازی مکانیکی (MA)، فرایند مکانیکی - شیمیایی (MCP)<sup>۱</sup> و فعال سازی آلیاژسازی کریستاله شدن فاز آمورف، نشستت الکترولیتی و فرایند آلیاژسازی مکانیکی از این دسته‌اند [۱]-[۲]. ولی ایجاد کرنش‌های داخلی و ایجاد ناخالصی مکانیکی است. از میان این روش‌ها، سنتز مکانیکی با استفاده از

<sup>i</sup>- دانشجوی کارشناسی ارشد، گروه سرامیک، بخش مهندسی مواد، دانشگاه تربیت مدرس: Email:bkaleji@yahoo.com  
<sup>ii</sup>- عضو هیات علمی، دانشیار گروه سرامیک، بخش مهندسی مواد، دانشگاه تربیت مدرس: Email:rsarrafm@modares.ac.ir

مکانیکی - شیمیایی دو مرحله‌ای استفاده شده است. در مرحله اول، مخلوط پودرها در یک آسیای گلوله‌ای ماهواره‌ای (Planetary Ball Mill) ساخت شرکت Fritch آلمان آسیا شد. فرایند آسیا کردن در یک ظرف از جنس فولاد ضد زنگ به همراه گلوله‌های فولادی با قطرهای ۱، ۲ سانتیمتر، نسبت وزنی گلوله به پودر ۱۵ و سرعت چرخشی ۲۰۰ دور بر دقیقه به مدت ۴ ساعت انجام شد. به منظور بررسی روند خرد شدن پودرها، نمونه برداشی برای تعیین اندازه ذرات در دوره‌های زمانی ۱ ساعت از درون ظرف انجام شد و توسط دستگاه اندازه‌گیری توزیع اندازه ذره لیزری (LPSA)<sup>۳</sup> ساخت شرکت Fritch آلمان مدل Analysette 22 میانگین اندازه ذرات (d<sub>50</sub>) اندازه‌گیری شد.

در ادامه، عملیات احیای مخلوط پودرها در یک کوره تیوبی ۱۲۰۰°C با محیط هیدروژنی با نرخ جریان ۲ لیتر بر دقیقه به همراه کاز حامل آرگون به انجام رسید. به منظور بررسی روند احیا شدن پودرها، عملیات احیا در سه دمای ۸۰°C، ۹۰°C و ۱۱۰°C صورت گرفت.

از دستگاه‌های تفرق اشعه ایکس (XRD) فلیپس مدل-XPERT MPD-CuKa،  $\lambda=0.154\text{ nm}$  برای تعیین میزان اکسید باقیمانده، عمق نفوذ احیا و فازهای کریستالی تشکیل شده در طی فرایند احیا استفاده شد. همچنین میکروسکوپ الکترونی روبشی (SEM) سیستم فلیپس مدل XL30 SERIES برای بررسی مورفولوژی ذرات و TEM مدل 1200 EX JEOL برای تعیین اندازه و شکل واقعی ذرات مورد استفاده قرار گرفت.

### ۳- نتایج و بحث

شکل (۱) الگوی خرد شدن مخلوط پودرها توسط LPSA را در شرایط آسیای ۲۰۰ دور بر دقیقه، نسبت وزنی گلوله به پودر ۱۵ نشان می‌دهد. مطابق نمودار با افزایش زمان آسیا، ذرات ریزتر می‌شوند و میانگین اندازه ذرات (d<sub>50</sub>) کاهش می‌یابد. تا زمانی که نیروی ضربه‌ای وارد شده از طرف گلوله‌ها به پودر بیشتر از مقاومت شکست ذرات باشد، روند خرد شدن ذرات ادامه می‌یابد. ولی زمانی که مقاومت شکست ذرات بر نیروی ضربه‌ای وارد از طرف گلوله‌ها غلبه کند، فرایند خرد شدن متوقف و ذرات بر اثر آگلومره شدن و چسبندگی ناشی از نیروهای واندروالس درشت می‌شوند. با توجه به شکل (۱) مخلوط پودرها در مدت زمان ۳ ساعت آسیا کمترین مقدار (d<sub>50</sub>) را دارد.

شکل (۲) تصاویر میکروسکوپ الکترونی روبشی (SEM) را در دو بزرگنمایی مختلف نشان می‌دهد. با توجه به اینکه در نتایج

در جریان آسیا و لزوم کنترل نمودن اتمسفر آسیا به سبب استفاده از مواد اولیه فلزی با خلوص بالا، استفاده از این روش را با محدودیت‌هایی مواجه کرده است [۲].

برای اجتناب از این محدودیت‌ها در حین فرایند اشاره شده، استفاده از روش جدیدی به نام روش مکانیکی- شیمیایی ضروری است. این روش به خاطر استفاده از نمکها و اکسیدهای پایدار به عنوان مواد اولیه و احیای هیدروژنی مخلوط آسیا شده آنها، جایگزینی مناسب برای فرایند آلیاژسازی مکانیکی است. قابلیت بالای این روش در اختلاط همگن پودرهای اولیه در جریان آسیا پر اثری، بینیاز از کنترل اتمسفر آسیا به علت استفاده از نمک‌ها، اکسیدها و کاربیدهای پایدار اولیه در مرحله آسیا، هزینه کم و مدت زمان بسیار کمتر آسیا در مقایسه با روش آلیاژسازی مکانیکی، سبب استفاده روز افزون از این روش شده است. سهولت ایجاد محیط هیدروژنی و بازده بالای آن در احیای ترکیبات اکسیدی و کاربیدی پایدار اولیه و پیشرفت نفوذ با کمترین میزان آگلومره شدن، از دیگر مزایای این روش به شمار می‌رود [۴].

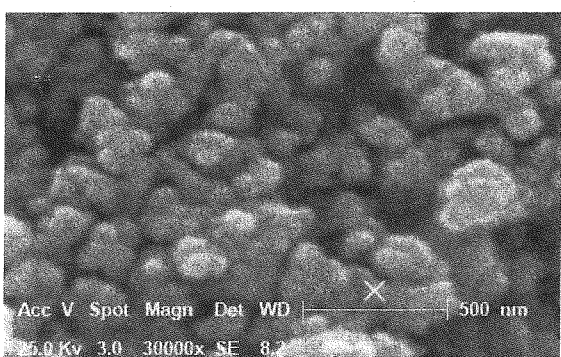
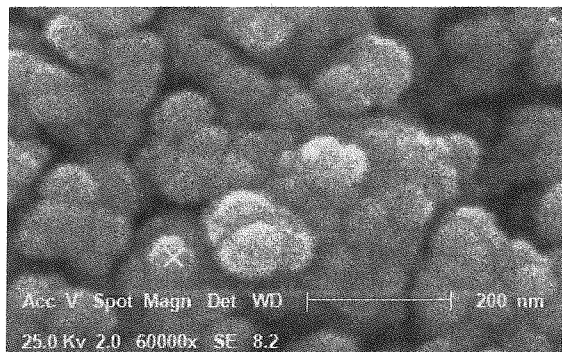
به علت توانایی مغناطیس شوندگی بالای کبالت، این خاصیت در آلیاژها و کامپوزیت‌های دوگانه کبالت- مس و کبالت- تنگستن نیز مشاهده می‌شود. همچنین مقاومت در برابر سایش بالای آلیاژهای پایه کبالت و پایه کبالت- تنگستن قابل توجه است [۶]. احیای هیدروژنی اکسیدهای فلزی، یکی از روش‌های قابل قبول برای تولید مواد کامپوزیتی است. همچنین احیای هیدروژنی یکی از روش‌های تولید مستقیم پودرهای کامپوزیتی فلزی با ترکیب یکنواخت گزارش شده است.

در این تحقیق سعی شده است که به روش مکانیکی- شیمیایی پودر آلیاژی  $\text{Co}_3\text{W}/\text{Cu}$  بر پایه ترکیب بین فلزی  $\text{Co}_3\text{W}$  در اندازه نانومتری در کشور تولید گردد. این پودر می‌تواند در ساخت سیم‌های برش الماسه جهت برش سنگ معادن مورد استفاده قرار گیرد.

### ۴- مراحل آزمایشگاهی

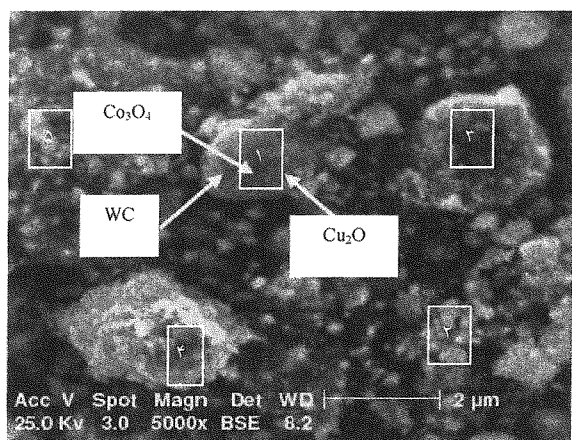
اکسید کبالت ( $\text{Co}_3\text{O}_4 < 11\mu\text{m}$ )، اکسید مس ( $\text{CuO} < 1/5\mu\text{m}$ ) با خلوص بالاتر از ۹۹/۹ درصد تولید شده توسط شرکت مرک و کاربید تنگستن ( $\text{WC} < 0.82\mu\text{m}$ ) تهیه شده از شرکت الماسه ساز با خلوص ۹۹/۹ درصد به عنوان مواد اولیه به کار برده شد.

به منظور تولید نانوپودرهای کامپوزیتی  $\text{Co}_3\text{W}/\text{Cu}$  از روش



شکل (۲) : تصاویر SEM از مخلوط

پودرها بعد از ۳ ساعت آسیا



شکل (۳) : تصویر SEM-BSE از مخلوط پودرهای آسیا شده به مدت ۳ ساعت، سرعت چرخشی ۲۰۰ و BPR=۱۵

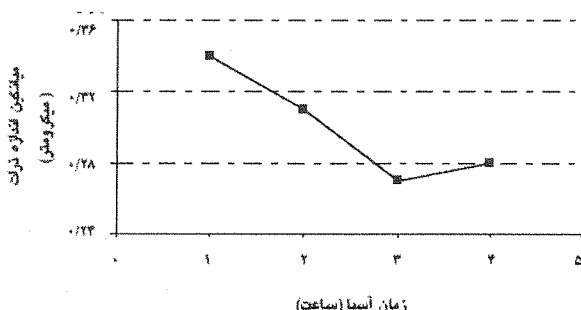
شکل (۴) الگوی تفرق اشعه ایکس (XRD) مخلوط پودرهای اولیه تهیه شده پس از آسیا به مدت ۳ ساعت، سرعت آسیای ۲۰۰ دور بر دقیقه و نسبت وزنی کلوله به پودر ۱۵ به همراه الگوی تفرق نمونه‌های احیاء شده در سه دمای ۹۰۰°C، ۸۵۰°C و ۱۱۰۰°C در مدت زمان ۱ ساعت در کوره تیوبی را نشان می‌دهد.

حاصل از دستگاه اندازه‌گیری توزیع اندازه ذره لیزری، آگلومره‌های تشکیل شده از چند ذره به عنوان یک ذره مستقل شناسایی می‌شود، اندازه واقعی ذرات کوچکتر از اعداد گزارش شده در شکل (۱) است. به عبارت دیگر، میانگین اندازه ذرات در محدوده ۳۰ تا ۱۰۰ نانومتر متغیر است.

شکل (۳) نشان دهنده تصویر SEM در حالت الکترون برگشتی<sup>۳</sup> است. نتایج حاصل از آنالیز عنصری اشعه ایکس (EDX)<sup>۵</sup> از ۵ ناحیه مختلف از این تصویر در جدول (۱) آورده شده است.

همان گونه که در جدول مشاهده می‌شود، توزیع مواد اولیه در نواحی مختلف، بر اساس نسبت وزنی خواسته شده است و از هموژنتی خوبی برخوردار است. به عبارتی سه ماده اولیه به طور یکنواخت در تمامی نقاط بعد از ۳ ساعت آسیا، توزیع شده‌اند.

$$\text{rpm} = ۲۰۰, \text{BPR} = ۱۵$$



شکل (۱) : الگوی خرد شدن مخلوط پودرها توسط LPSA

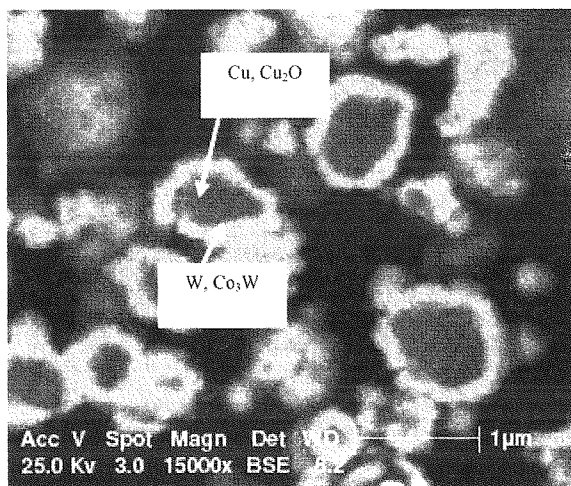
چون مواد اولیه این تحقیق از ۳ ماده اکسید کیالت، کاربید تنگستن و اکسید مس تشکیل شده بود، هر یک از مواد عنصری آنالیز شده به وسیله EDX به صورت اکسیدی و کاربیدی و با توجه به نسبت استوکیومتری، محاسبه و در جدول گزارش شد.

جدول (۱) : نتایج حاصل از EDX از ۵ ناحیه مختلف از شکل (۳)

مواد اولیه	ناحیه ۱	ناحیه ۲	ناحیه ۳	ناحیه ۴	ناحیه ۵
Co <sub>3</sub> O <sub>4</sub>	۵۵	۵۴	۵۷	۵۷	۵۶
WC	۴۰	۳۷	۳۲	۳۲	۳۴
Cu <sub>2</sub> O	۹	۱۰	۱۰	۱۰	۹

طور که انتظار می‌رفت، اکثر قله‌ها مربوط به ترکیب بین فلزی  $\text{Co}_3\text{W}$  با ساختار هگزاگونال به همراه چند قله  $\text{Cu}$  و  $\text{Cu}_2\text{O}$  است. در این دما همه قله‌های مربوط به  $\text{CoWO}_4$  در یکیگر ترکیب و بر شدت قله‌های  $\text{Co}_3\text{W}$  افزوده می‌شود. با توجه به حلالیت بسیار ناتاچیز  $\text{Cu}$  و  $\text{W}$  در این محدوده دمایی، قله‌های مربوط به  $\text{Cu}$  و  $\text{Cu}_2\text{O}$  نیز مشاهده می‌شود.

شکل (۵) تصویر SEM-BSE مریبوط به نمونه احیا شده در مایع  $90^{\circ}\text{C}$  را نشان می‌دهد. با توجه به این شکل، ذرات از دو فاز کریستالی مجرزا در کنار هم و یا به صورت تداخل یافته‌اند. با توجه به آنالیز EDX، مغز ذرات که به رنگ تیره است، مریبوط به مس و اکسیدهای احیا نشده مس است. لایه خارجی که به رنگ سفید است، ترکیبات تنگستن و  $\text{WCO}_3$  دارد.



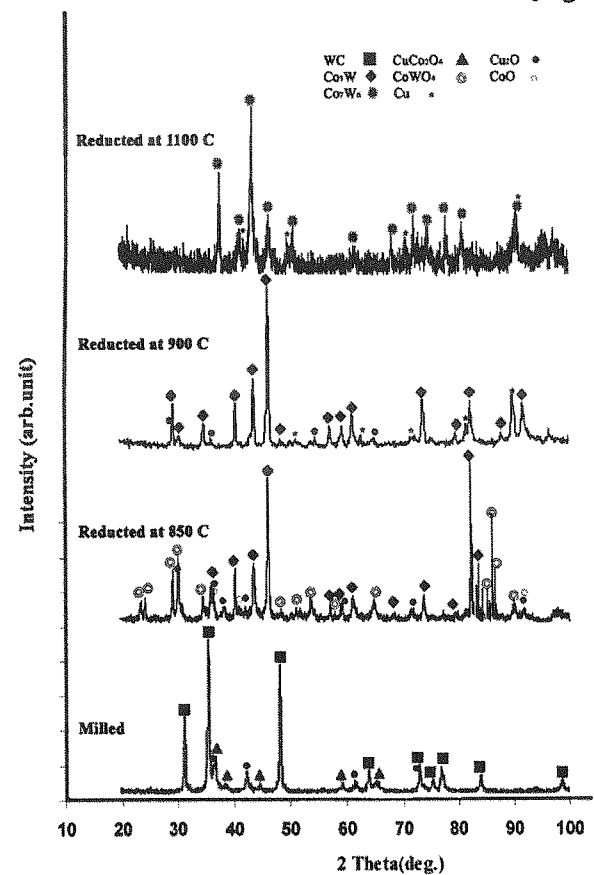
شکل (۵) : تصویر SEM-BSE از نمونه احیا شده در  $90^{\circ}\text{C}$

در دمای  $1100^{\circ}\text{C}$  با توجه به نتایج XRD مشاهده می‌شود که مواد از حالت کریستالی منظم خارج و احتمال حضور فازهای بی- $\alpha$ - disordered (زیاد می‌شود، بنابراین بهترین شرایط احیا با نوجوه به نتایج XRD در مدت زمان ۱ ساعت و دمای  $900^{\circ}\text{C}$  صورت گرفته است. دماهای پایین‌تر از  $850^{\circ}\text{C}$  به دلیل تجزیه WC و احتمال حضور قله‌های کربن در نتایج و همچنین شدن مس و مس ابالت از  $900^{\circ}\text{C}$  به دلیل ذوب سطحی ذرات مس و احتمال سیترینیگ فاز مایع با حضور ذرات مس و تشکیل فازهای مس خواسته از W-Co مثلاً  $\text{Co}_7\text{W}_2$ . مورد استفاده قرار نگرفته است.

شکل (۶) تصویر SEM از نمونه احیا شده در دمای  $900^{\circ}\text{C}$  را

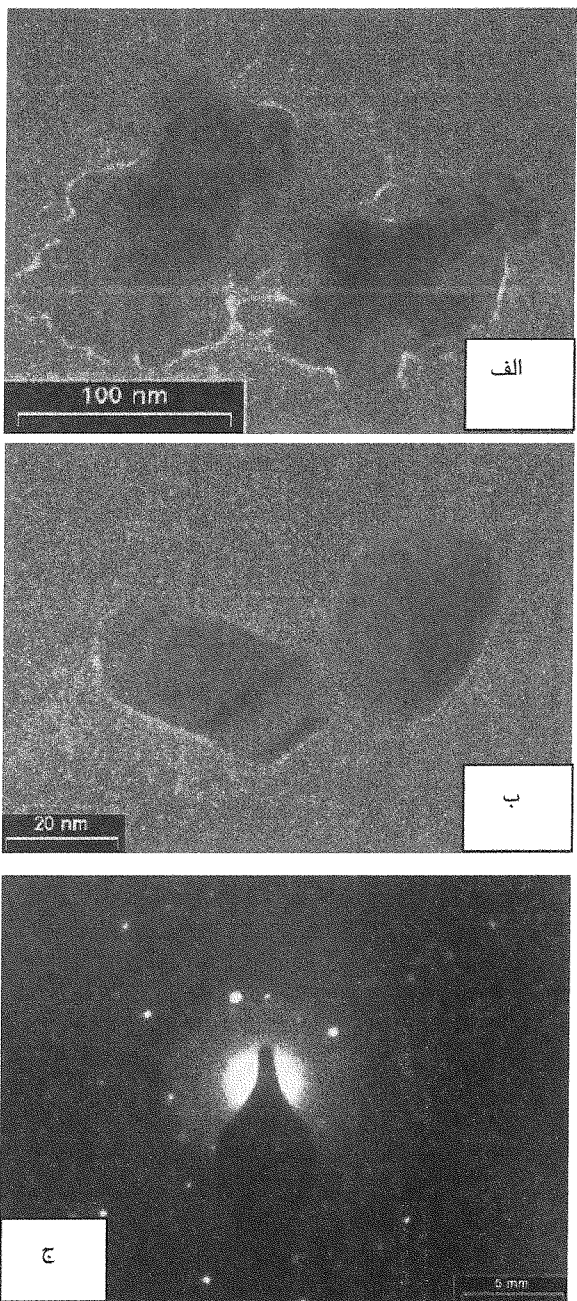
الگوی به دست آمده از آنالیز XRD مخلوط پودرها در مدت زمان ۳ ساعت، نشان دهنده حضور قله‌های کاربید تنگستن، اکسید Cu<sub>2</sub>O<sub>4</sub> به همراه قله‌های تک ظرفیتی اکسید مس به صورت Cu<sub>2</sub>O است. قله‌های اکسید مخلط فوق در زوایای نزدیک به موقعیت قله‌های اکسید کبات قرار دارند.

نمونه احیا شده در دمای ۸۵°C شامل Co<sub>3</sub>W، CoWO<sub>4</sub> و Cu<sub>2</sub>O است. با توجه به نتایج XRD در این دما، اکثر ترکیبات هنوز به صورت اکسیدی وجود دارند و احیا به طور کامل اجرا نشده است. دلیل این امر شاید حضور کاربید تنگستن در ترکیب مخلوط پودرهاست، زیرا کاربید تنگستن در دماهای نزدیک ۸۵°C به طور کامل تجزیه شده، کربن‌های آزاد شده به علت فعالیت بالاتر و تماس مستقیم با هیدروژن، بلادرنگ با آن واکنش می‌دهند و به صورت متان (CH<sub>4</sub>) از کوره احیا خارج می‌شوند.



شکل (۴) : الگوی XRD نمونه‌های مخلوط و احیاء شده

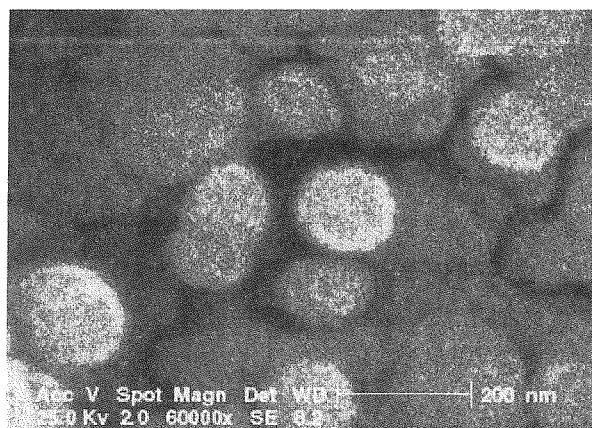
در دمای  $900^{\circ}\text{C}$ , یا توجه به دیاگرام دوتایی Co-W، همان



شکل (۶) : تصاویر TEM (الف-ب) به همراه الگوی تفرق (ج) از نمونه احیا شده در دمای  $900^{\circ}\text{C}$

در شکل (۷) الگوی تفرق نمونه احیا شده، دیده می‌شود. قسمت مرکزی الگوی تفرق (منطقه روشن) نشان دهنده اشعه‌های عبوری بیم الکترونی است که منجر به ایجاد تصویر می‌گردند و حلقه‌های روشن دور تا دور (Rings) نیز نشان دهنده صفحات کریستالی موازی‌اند که حاصل از پراش اشعه‌های برخورد کرده

نشان می‌دهد. ذرات به دست آمده نشان دهنده توده‌های آگلomerه از نمونه احیا شده، اما با ابعادی در محدوده ۳۰ تا ۱۰۰ نانومتر است. توده‌های آگلomerه تشکیل شده پس از فرایند احیا از نوع آگلomerه‌های ضعیف ناشی از نیتروی واندروالس بوده که در طی فرایند احیا به دلیل سطح ویژه بالای نانوپودر، به هم چسبیده‌اند.



شکل (۷) : تصویر SEM نمونه احیا شده در دمای  $900^{\circ}\text{C}$  و زمان ۱ ساعت

شکل (۷) تصاویر میکروسکوپ الکترونی عبوری (TEM)<sup>۶</sup> از نمونه احیا شده در دمای  $900^{\circ}\text{C}$  را نشان می‌دهد. ذرات به دست آمده در شکل (۷-الف) به صورت توده آگلomerه بوده، اندازه واقعی ذرات در محدوده ۱۰ تا ۵۰ نانومتر است. پودرهای سنتز شده بر پایه ترکیب بین فلزی  $\text{Co}_3\text{W}$  هستند که ساختار هگزاگونالی دارند. تصویر TEM شکل (۷-ب)، شکل تقریباً شش وجهی دو تا از این دانه‌ها را نشان می‌دهد. میانگین اندازه واقعی ذرات با توجه به تصاویر TEM در حدود ۲۰ نانومتر است و با استفاده از فرمول شرر<sup>۷</sup> عدد ۳۳ نانومتر به دست می‌آید که این دو تطابق خوبی دارد. فرمول شرر چنین است :

$$d = k\lambda/B \cos \theta$$

که در آن :

$$d = \text{میانگین اندازه ذرات}$$

$$\lambda = \text{طول موج}$$

$$B = \text{پهنهای قله در نصف ارتفاع بیشینه}$$

$$\theta = \text{زاویه تفرق}$$

مخلوط پودرها در دمای  $900^{\circ}\text{C}$  به مدت ۱ ساعت در کوره تیوبی تولید شد.

۲- میانگین اندازه ذرات با استفاده از تصاویر TEM در حدود ۳۰ نانومتر و از فرمول شرر حدود ۳۳ نانومتر به دست آمد.

به کریستال هستند. این الگو نشان دهنده یک ساختار کریستالی است که با نتایج حاصل از XRD مطابقت دارد.

#### ۴- نتیجه

۱- نانو پودر کامپوزیتی  $\text{Co}_3\text{W}/\text{Cu}$  بر پایه ترکیب بین فلزی W  $\text{Co}_3\text{W}$  به طور موفقیت آمیزی با روش MCP با استفاده از یک آسیای پر انرژی ماهواره‌ای طی ۳ ساعت آسیا و احیا

#### ۵- مراجع

Baek-Hee Lee and Bong Su Ahn et al, microstructure and magnetic properties of nanosized Fe-Co alloy powders synthesized by mechanochemical and mechanical alloying process, Materials Letters 57, 2003, 1103–110.

Kari Korpila, ph. D. Thesis, Helsinki University of Technology Publications in Materials Science and Metallurgy, 2004.

S. Hong, Fabrication of W-20 wt % Cu composite nanopowder and sintered alloy with high thermal conductivity, Materials Letters 57 (2003) 2761–2767.

[۱] T. Raghu, Synthesis of nanocrystalline copper-tungstenalloys by mechanical alloying, Materials Science and Engineering A304–306 (2001) 438–441.

[۲] C. Suryanarayana, 'Mechanical alloying and milling', Progress in Materials Science, 46, 2001, 1-184.

[۳] Baek-Hee Lee and Young Jung Lee et al., Synthesis of nano-sized Fe-Co alloy powders by chemical solution mixing of metal salts and hydrogen reduction, Materials Letters, 59, 2005, 3156 – 3159.

#### ۶- زیرنویس‌ها

- ۱ Mechanical Alloying
- ۲ Mechano-Chemical process
- ۳ Laser Particle Size Analyzes
- ۴ Back Scattered Electron
- ۵ Energy Dispersive X-Ray
- ۶ Transmission Electron Microscopy
- ۷ Scherer Formulas